

中国肿瘤临床 2012, Vol. 39 Issue (13): 889-894 DOI: doi:10.3969/j.issn.1000-8179.2012.13.004

基础研究 最新目录 | 下期目录 | 过刊浏览 | 高级检索

[an error occurred while processing this directive] | [an error occurred while processing this directive]

## 细胞因子诱导的杀伤细胞逆转耐顺铂肺腺癌细胞系A549/DDP耐药性的研究

杜春娟 | 李慧 | 于津浦 | 安秀梅 | 于文文 | 齐静 | 任秀宝 | 曹水

天津医科大学附属肿瘤医院生物治疗科, 天津市肿瘤防治重点实验室 (天津市300060)

### Cytokine-induced Killer Cells Modulate Cisplatin Resistance in the A549/DDP Cell Line

Chunjuan DU, Hui LI, Jinpu YU, Xiumei AN, Wenwen YU, Jing QI, Xiubao REN, Shui CAO

Department of Cancer Biotherapy, Affiliated Cancer Institute and Hospital, Tianjin Medical University, Key Laboratory of Cancer Prevention and Treatment of Tianjin City Tianjin 300060, China

#### 摘要

#### 参考文献

#### 相关文章

全文: [PDF \(880 KB\)](#) [HTML \(1 KB\)](#) 输出: [BibTeX](#) | [EndNote \(RIS\)](#) [背景资料](#)

**摘要** 观察细胞因子诱导的杀伤细胞 (cytokine induced killer, CIK) 对耐顺铂 (DDP) 人肺腺癌细胞系A549/DDP的耐药逆转作用及其逆转A549/DDP耐药的可能机制。方法: A549/DDP与CIK细胞采用Transwell非接触共培养。四氮甲唑兰比色法 (MTT法) 验证A549/DDP的DDP耐药性及检测共培养前后A549/DDP对DDP耐药性的变化。RT-PCR法筛选A549与A549/DDP有差异表达的基因作为检测耐药性变化的观察指标, 并检测共培养前后A549/DDP中基因表达水平的变化; Western blot检测A549及其共培养前后A549/DDP中基因蛋白水平的变化。结果: A549/DDP的耐药系数为14.5, 具有较强的DDP耐药性。RT-PCR筛选出A549与A549/DDP表达有差异的耐药相关基因为谷胱甘肽转移酶 (glutathione-S-transferase, GST- $\pi$ ) 基因、人类铜离子转运蛋白 (human copper transporter 1, hCTR1) 基因, A549/DDP中GST- $\pi$ 表达量明显增加, hCTR1表达量明显降低。与CIK细胞共培养后, A549/DDP对DDP的耐药性明显下降, 共培养20h后耐药逆转倍数约为4.93倍, 细胞内GST- $\pi$ 基因及蛋白水平的表达明显降低 ( $P<0.05$ )。结论: CIK细胞对A549/DDP有逆转DDP耐药的作用, 其机制可能与下调GST- $\pi$ 基因及蛋白水平的表达有关。

**关键词:** 化疗耐药 细胞因子诱导的杀伤细胞 肺腺癌 GST- $\pi$  hCTR1

**Abstract:** To observe the effects of cytokine-induced killer cells (CIKs) on the reversal of cisplatin (DDP) resistance in the DDP-resistant human lung adenocarcinoma cell line A549/DDP. Methods: The cisplatin resistance of the A549/DDP cell line was validated and the drug sensitivity of A549/DDP indirectly cocultured with CIKs was determined with an MTT assay. The expression levels of the relative resistance genes of A549, A549/DDP, and A549/DDP co-cultured with CIK were determined via semiquantitative RT-PCR. The expression levels of relative resistance proteins were determined via western blot analysis. Results: The resistant index of A549/DDP to A549 was 14.5. The GST- $\pi$  expression levels were increased in A549/DDP than in A549, but hCTR1 was contrary ( $P < 0.05$ ). The cisplatin resistance of A549/DDP cocultured with CIK was decreased, and its GST- $\pi$  expression was decreased ( $P < 0.05$ ). Conclusion: CIK could reverse the cisplatin resistance of A549/DDP by inhibiting the expression of GST- $\pi$ .

**Key words:** Drug resistance Cytokine-induced killer Lung adenocarcinoma GST- $\pi$  hCTR1

收稿日期: 2011-11-24; 出版日期: 2012-07-15

基金资助:

本文课题受天津市应用基础及前沿技术研究计划(编号: 09JCZDJC20400)资助

通讯作者: 曹水 E-mail: caoshui@yahoo.com

#### 服务

[把本文推荐给朋友](#)

[加入我的书架](#)

[加入引用管理器](#)

[E-mail Alert](#)

[RSS](#)

#### 作者相关文章

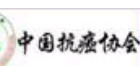
链接本文:

[http://118.145.16.228:8081/Jweb\\_zgzllc/CN/doi:10.3969/j.issn.1000-8179.2012.13.004](http://118.145.16.228:8081/Jweb_zgzllc/CN/doi:10.3969/j.issn.1000-8179.2012.13.004) 或 [http://118.145.16.228:8081/Jweb\\_zgzllc/CN/Y2012/V39/I13/889](http://118.145.16.228:8081/Jweb_zgzllc/CN/Y2012/V39/I13/889)

没有本文参考文献

- [1] 杜春娟,刘亮,曹水,熊艳娟,杜伟娇,齐静,张澎,安阳,任秀宝. 细胞因子诱导的杀伤细胞治疗**87**例非小细胞肺癌临床疗效评价[J]. 中国肿瘤临床, 2012, 39(9): 519-523.
- [2] 张澎, 张静, 刘亮, 李慧, 齐静, 安秀梅, 曹水, 任秀宝. **CIK**治疗转移性肾癌的临床疗效评价及预后影响因素分析[J]. 中国肿瘤临床, 2012, 39(10): 732-735.
- [3] 袁智勇, 秦培燕, 庄洪卿, 于津浦, 任秀宝, 王长利, 王平. 恩度不同给药时相对肺癌裸鼠移植瘤辐射增敏效应研究[J]. 中国肿瘤临床, 2012, 39(10): 648-651.
- [4] 颜莹, 刘园, 高纯子, 李瑛, 韩波. 尼妥珠单抗联合**X**射线照射对肺腺癌细胞**A549**的作用[J]. 中国肿瘤临床, 2011, 38(8): 433-436.
- [5] 张真发, 张连民, 李跃, 王长利. 胰岛素样生长因子**2**的表达对**N2**期肺腺癌预后的影响[J]. 中国肿瘤临床, 2011, 38(24): 1515-1518.
- [6] 高艳, 曹水, 任秀宝, 于津浦, 张乃宁, 张静. **CIK**细胞治疗转移性肾癌**48**例的疗效预测因素分析[J]. 中国肿瘤临床, 2011, 38(2): 108-111.
- [7] 李娜, 李凯. **61**例肺实性型腺癌的临床特征及预后分析[J]. 中国肿瘤临床, 2011, 38(16): 970-973.

#### 友情链接



版权所有 © 2013 《中国肿瘤临床》编辑部

地址: 天津市河西区体院北环湖西路肿瘤医院内 300060

电话/传真: (022)23527053 E-mail: cjco@cjco.cn cjcotj@sina.com 津ICP备1200315号